

**HUBUNGAN JARAK DAN DURASI PENGGUNAAN DIGITAL DEVICE
DENGAN KELUHAN MATA LELAH PADA
SISWA SMK NEGERI 1 BINJAI**

SKRIPSI

Oleh
TASYA AUDITHA RITONGA

71190811035



**FAKULTAS KEDOKTERAN
UNIVERSITAS ISLAM SUMATERA UTARA
MEDAN
2023**

**HUBUNGAN JARAK DAN DURASI PENGGUNAAN DIGITAL DEVICE
DENGAN KELUHAN MATA LELAH PADA
SISWA SMK NEGERI 1 BINJAI**

SKRIPSI

Diajukan Sebagai Salah Satu Syarat Kelulusan Menjadi Sarjana Kedokteran

Oleh

TASYA AUDITHA RITONGA

71190811035



**FAKULTAS KEDOKTERAN
UNIVERSITAS ISLAM SUMATERA UTARA
MEDAN
2023**

LEMBAR PERSETUJUAN

Hasil penelitian dengan judul:

**HUBUNGAN JARAK DAN DURASI PENGGUNAAN DIGITAL DEVICE
DENGAN KELUHAN MATA LELAH PADA
SISWA SMK NEGERI 1 BINJAI**

Yang dipersiapkan oleh :

TASYA AUDITHA RITONGA

71190811035

Hasil Penelitian ini telah diperiksa dan disetujui

Medan, 29 Maret 2023

Disetujui,

Dosen Pembimbing

(dr. Nurul Utami, M.Kes, M.Ked (KJ), Sp.KJ)

Dosen Penguji I

Dosen Penguji II

(dr. Ichwan Alamsyah Lubis, M.BIOMED)

(dr. Aspri Astria, M.Kes)

LEMBAR PENGESAHAN

Judul Skripsi : **HUBUNGAN JARAK DAN DURASI
PENGUNAAN DIGITAL DEVICE DENGAN
KELUHAN MATA LELAH PADA SISWA
SMK NEGERI 1 BINJAI**

Nama Mahasiswa : TASYA AUDITHA RITONGA

Nomor Induk Mahasiswa : 71190811035

Telah Diuji Dinyatakan **LULUS** Di Depan Tim Penguji Pada Hari Jum'at , 17
Maret 2023

Tim Penguji Skripsi

Dosen Pembimbing

(dr. Nurul Utami, M.Kes, M.Ked (KJ), Sp.KJ)

Dosen Penguji I

Dosen Penguji II

(dr. Ichwan Alamsyah Lubis, M.BIOMED)

(dr. Aspri Astria, M.Kes)

Diketahui

Dekan Fakultas Kedokteran

Universitas Islam Sumatera Utara

(dr. Indra Janis, MKT)

KATA PENGANTAR

Assalamu'alaikum Wr.Wb

Alhamdulillah Rabbil 'alamiin, puji syukur bagi Allah SWT yang telah mencurahkan kenikmatan kepada kita semua atas berkat rahmat dan hidayah-Nya yang selalu menyertai penulis sehingga penulis dapat menyelesaikan skripsi dengan judul "Hubungan Jarak dan Durasi Penggunaan Digital Device Dengan Keluhan Mata Lelah Pada Siswa SMK Negeri 1 Binjai" Shalawat dan salam selalu tercurahkan kepada Nabi Muhammad SAW beserta keluarganya yang telah menuntun umatnya ke jalan yang diridhoi Allah SWT. Selama penulisan skripsi ini, penulis telah banyak menerima bantuan dari berbagai pihak. Untuk itu penulis mengucapkan terima kasih kepada:

1. Dr. H. Yanhar Jamaluddin, M.AP, selaku Rektor Fakultas Kedokteran Universitas Islam Sumatera Utara yang telah memberikan kesempatan kepada saya untuk mengikuti pendidikan program sarjana di Fakultas Kedokteran Universitas Islam Sumatera Utara
2. dr. H. Indra Janis, MKT selaku Dekan Fakultas Kedokteran Universitas Islam Sumatera Utara yang telah memberikan kesempatan kepada saya untuk mengikuti pendidikan program sarjana di Fakultas Kedokteran Universitas Islam Sumatera Utara
3. dr. Irma Yanti Rangkuti, M. Si., M. Biomed selaku Kepala Prodi Fakultas Kedokteran Universitas Islam Sumatera Utara yang telah memberikan kesempatan kepada saya untuk mengikuti pendidikan program sarjana di Fakultas Kedokteran Universitas Islam Sumatera Utara
4. dr. Nurul Utami, M.Kes, M.Ked (KJ), Sp.KJ selaku Dosen Pembimbing yang telah banyak meluangkan waktu, tenaga, dukungan, dan masukan yang berharga dalam penyusunan skripsi ini
5. dr. Ichwan Alamsyah Lubis, M.BIOMED dan dr. Aspri Astria, M.Kes selaku Dosen Pembimbing I dan Dosen Pembimbing II yang telah meluangkan waktu dan bersedia memberikan masukan dan kritikan yang membangun penyusunan skripsi ini.

6. dr. Surya Akbar, M.Med.Ed selaku dokter bagian metapel yang telah memberikan waktu dan masukan dalam penyempurnaan skripsi ini
7. Seluruh staff pengajar dan civitas Fakultas Kedokteran Universitas Islam Sumatera Utara
8. Kedua orang tua yang saya cintai, Ayah M. Amru Mukto Ritonga, SE dan Ibu Emi Kasmita yang senantiasa selalu ada serta menyebut saya dalam setiap doanya yang tiada henti, memberikan bantuan dukungan dan pengorbanan baik material dan moral yang tak terkira sehingga saya berada di tahap ini
9. Kepada Keluarga Besar saya di Padangsidempuan dan Binjai yang tidak bisa diucapkan satu-persatu terimakasih telah banyak memberikan doanya setiap waktu, serta memberi kepercayaan penuh sehingga bisa menyelesaikan skripsi ini.
10. Sahabat – sahabat seperjuangan saya yang telah membantu, menghibur, dan menjadi penyemangat dalam skripsi serta bagian penting dalam cerita hidup mulai awal perkuliahan di kampus FK UISU, Andin, Della, Silvi, Nanda, Syifaa, Faliha, Linda
11. Terakhir saya ingin mengucapkan terimakasih kepada diri sendiri karena telah mampu bertanggung jawab hingga akhir dalam penyelesaian skripsi ini, terimakasih karena tidak menyerah terhadap keadaan, terimakasih karena masih bertahan dan terimakasih karena terus percaya bahwa rencana ALLAH SWT pasti sebaik-baiknya rencana.

Penulis menyadari bahwa masih banyak kekurangan dalam penulisan skripsi ini. Oleh karena itu, penulis sangat mengharapkan kritik dan saran dari pembaca yang bersifat membangun demi penyempurnaan skripsi ini. Aamiin

Medan, Maret 2023

Hormat Penulis

Tasya Auditha Ritonga

71190811035

DAFTAR ISI

Nomor	Judul	Halaman
	LEMBAR PERSETUJUAN	i
	LEMBAR PENGESAHAN.....	ii
	KATA PENGANTAR.....	iii
	ABSTRAK.....	x
	ABSTRACT	xi
	DAFTAR ISI.....	xii
	DAFTAR TABEL	xv
	DAFTAR GAMBAR.....	xvi
	DAFTAR SINGKATAN.....	xvii
	DAFTAR LAMPIRAN	xviii
	BAB I.....	1
	PENDAHULUAN	1
1.1	Latar Belakang	1
1.2	Rumusan Masalah	4
1.3	Tujuan Penelitian	4
1.3.1	Tujuan Umum	4
1.3.2	Tujuan Khusus	4
1.4	Manfaat Penelitian.....	4
1.4.1	Bagi Universitas	4
1.4.2	Bagi Masyarakat.....	4
1.4.3	Bagi Peneliti	5
1.4.4	Bagi Peneliti Selanjutnya	5
	BAB II	6
	TINJAUAN PUSTAKA	6
2.1	Mata.....	6
2.1.1	Anatomi Mata.....	6
2.2	Astenopia	10
2.2.1	Defenisi Astenopia	10
2.2.2	Etiologi Astenopia	11

2.2.3	Manifestasi Klinis Astenopia	11
2.2.4	Patofisiologi Astenopia.....	12
2.2.5	Faktor Risiko Astenopia	14
2.2.6	Tatalaksana Astenopia.....	16
2.3	Digital Device	16
2.3.1	Defenisi Digital Device.....	16
2.3.2	Jenis-jenis Digital Device	16
2.3.3	Durasi Pemakaian Digital Device	17
2.3.3	Jarak Pemakaian Digital Device.....	17
2.4	Kerangka Teori.....	18
2.5	Hipotesa	18
2.6	Kerangka Konsep	19
BAB III	20
METODE PENELITIAN	20
3.1	Jenis Penelitian.....	20
3.2	Waktu dan Lokasi Penelitian	20
3.2.1	Waktu Penelitian	20
3.2.2	Lokasi Penelitian	20
3.3	Populasi dan Sampel Penelitian	20
3.3.1	Populasi Penelitian	20
3.3.2	Sampel Penelitian.....	20
3.4	Variabel Penelitian	21
3.4.1	Variabel Bebas	21
3.4.2	Variabel Terikat.....	21
3.5	Definisi Operasional	22
3.6	Instrumen Penelitian	23
3.6.1	Validitas	23
3.6.2	Uji Realiabilitas	23
3.7	Teknik Pengumpulan Data.....	23
3.7.1	Data Primer	23
3.7.2	Data Sekunder	23
3.8	Prosedur Pengambilan Data.....	24

3.9	Prosedur Pengukuran Kelelahan Mata.....	24
3.10	Pengolahan dan Analisa Data	24
3.9.1	Pengolahan Data.....	24
3.9.2	Analisa Data.....	25
BAB IV	27
HASIL DAN PEMBAHASAN.....	27
4.1.	Deskripsi Penelitian	27
4.2.	Karakteristik Subjek	27
4.3.	Hasil Penelitian.....	27
4.3.1.	Analisa Univariat	27
4.3.2.	Analisa Bivariat	29
4.4.	Pembahasan.....	30
BAB V.....	35
KESIMPULAN DAN SARAN.....	35
5.1.	Kesimpulan	35
5.2.	Saran	36
5.2.	Keterbatasan Penelitian	36
DAFTAR PUSTAKA	36
LAMPIRAN	41

DAFTAR TABEL

Nomor	Judul	Halaman
Tabel 3. 1	Definisi Operasional	22
Tabel 4. 1	Distribusi Frekuensi dan Persentase Demografi Jenis Kelamin dan Usia Pada Siswa SMK N 1 Binjai.....	29
Tabel 4. 2	Gambaran Jarak Penggunaan <i>Digital Device</i> Pada Siswa SMK N 1 Binjai	30
Tabel 4. 3	Gambaran Durasi Penggunaan <i>Digital Device</i> Pada Siswa SMK N 1 Binjai	30
Tabel 4. 4	Gambaran Kejadian Kelelahan Mata Pada Siswa SMK N 1 Binjai.....	31
Tabel 4. 5	Hubungan Antara Jarak Penggunaan <i>Digital Device</i> Dengan Keluhan Kelelahan Mata Pada Siswa SMK N 1 Binjai	31
Tabel 4. 6	Hubungan Antara Jarak Penggunaan <i>Digital Device</i> Dengan Keluhan Kelelahan Mata Pada Siswa SMK N 1 Binjai	32

DAFTAR GAMBAR

Nomor	Judul	Halaman
Gambar 2. 1	Anatomi Mata.....	6
Gambar 2. 2	Kerangka Teori.....	18
Gambar 2. 3	Kerangka Konsep... ..	21

DAFTAR SINGKATAN

CVS	: <i>Computer Vision Syndrome</i>
DES	: <i>Digital Eye Strain</i>
GPS	: <i>Global Positioning System</i>
LED	: <i>Light Emitting Diode</i>
VFI	: <i>Visual Fatigue Index</i>
WHO	: <i>World Health Organization</i>

DAFTAR LAMPIRAN

Nomor	Judul	Halaman
Lampiran 1:	Surat Pengesahan Judul	41
Lampiran 2:	Surat Balasan Suvey Awal	43
Lampiran 3:	Absen Bimbingan dengan Dosen Pembimbing.....	44
Lampiran 4:	Surat Keabsahan Daftar Pustaka.....	46
Lampiran 5:	Lembar Permohonan Menjadi Responden Penelitian	50
Lampiran 6:	Lembar Persetujuan Responden.....	51
Lampiran 7:	Lembar Kuesioner	52
Lampiran 8:	Output SPSS Uji Validitas dan Reabilitas	56
Lampiran 9:	Master Data.....	66
Lampiran 8:	Output SPSS	73

DAFTAR PUSTAKA

- Aldukhayel, A., Baqar, S. M., Almeathem, F. K., Alsultan, F. S., & AlHarbi, G. A. (2022). Digital Eye Strain Caused by Online Education Among Children in Qassim Region, Saudi Arabia: A Cross-Sectional Study. *Cureus*, *14*(4), 5–13. <https://doi.org/10.7759/cureus.23813>
- Altalhi, A. A., Khayyat, W., Khojah, O., Alsalmi, M., & Almarzouki, H. (2020). Computer Vision Syndrome Among Health Sciences Students in Saudi Arabia: Prevalence and Risk Factors. In *Cureus*. <https://doi.org/10.7759/cureus.7060>
- Badan Pusat Statistik. (2020). *Statistik Telekomunikasi Indonesia 2020*.
- Bawelle, C. F. N., Lintong, F., & Rumampuk, J. (2016). Hubungan penggunaan smartphone dengan fungsi penglihatan pada mahasiswa Fakultas Kedokteran Universitas Sam Ratulangi Manado angkatan 2016. *Jurnal E-Biomedik*, *4*(2), 0–5. <https://doi.org/10.35790/ebm.4.2.2016.14865>
- Bell, P. (2017). *Information and Communication Technology*.
- Budd, J., Miller, B. S., Manning, E. M., Lampos, V., Zhuang, M., Edelstein, M., Rees, G., Emery, V. C., Stevens, M. M., Keegan, N., Short, M. J., Pillay, D., Manley, E., Cox, I. J., Heymann, D., Johnson, A. M., & McKendry, R. A. (2020). Digital technologies in the public-health response to COVID-19. *Nature Medicine*, *26*(8), 1183–1192. <https://doi.org/10.1038/s41591-020-1011-4>
- Chandra, J., & Kartadinata, E. (2018). Hubungan antara durasi aktivitas membaca dengan astenopia pada mahasiswa. *Jurnal Biomedika Dan Kesehatan*, *1*(3), 185–190. <https://doi.org/10.18051/jbiomedkes.2018.v1.185-190>
- Claudia, A. (2022). *Faktor yang Berhubungan dengan Keluhan Kelelahan Mata (Astenopia) pada Karyawan Dinas Komunikasi Informatika dan Persandian Kabupaten Sinjai*. 8.5.2017, 2003–2005.

- Farras, P. A. (2017). Faktor-faktor yang Berpengaruh dengan Keluhan Kelelahan Mata pada Pekerja Pengguna Komputer. *Skripsi*.
- Ganie, M. A., Himayani, R., & Kurniawan, B. (2018). Hubungan Jarak dan Durasi Pemakaian Smartphone dengan Keluhan Kelelahan Mata pada Mahasiswa Fakultas Kedokteran Universitas Lampung The Correlation of Viewing Distance and Duration of Using Smartphone with Eyestrain on Medical Student of Lampung Universit. *Medical Journal Og Lampung University*, 8(1), 136–140.
- Ganne, P., Najeeb, S., Chaitanya, G., Sharma, A., & Krishnappa, N. C. (2021). Digital Eye Strain Epidemic amid COVID-19 Pandemic—A Cross-sectional Survey. *Ophthalmic Epidemiology*, 28(4), 285–292. <https://doi.org/10.1080/09286586.2020.1862243>
- Ilyas, S., & Yulianti, S. R. (2018). *Ilmu Penyakit Mata*. Jakarta: Fakultas Kedokteran Universitas Indonesia.
- Irfan, I., Aswar, A., & Erviana, E. (2020). Hubungan Smartphone Dengan Kualitas Tidur Remaja Di Sma Negeri 2 Majene. *Journal of Islamic Nursing*, 5(2), 95. <https://doi.org/10.24252/join.v5i2.15828>
- Irma, Lestari, I., & Kurniawan, A. R. (2019). Faktor Yang Berhubungan Dengan Keluhan Subjektif Kelelahan Mata Pada Pengguna Komputer. *Jurnal Ilmiah Kesehatan Pencerah*, 8(1), 15–23.
- Jaiswal, S., Asper, L., Long, J., Lee, A., Harrison, K., & Golebiowski, B. (2019). Ocular and visual discomfort associated with smartphones, tablets and computers: what we do and do not know. *Clinical and Experimental Optometry*, 102(5), 463–477. <https://doi.org/10.1111/cxo.12851>
- James, B., Chew, C., & Bron, A. (2006). *Lecture Notes Oftalmologi*. Erlangga.
- Kim, D. J., Lim, C.-Y., Gu, N., & Park, C. Y. (2017). Visual Fatigue Induced by Viewing a Tablet Computer with a High-resolution Display. *Korean Journal of Ophthalmology*, 31(5), 388. <https://doi.org/10.3341/kjo.2016.0095>

- KOMINFO. (2017). *Survey Penggunaan TIK 2017*.
- Medelin, F., & Saluy, P. M. (2020). The Relationship of Screen Time and Asthenopia Among Computer Science Students Universitas Klabat. *Nutrix Journal*, 01–06.
- Moon, J. H., Lee, M. Y., & Moon, N. J. (2014). Association between video display terminal use and dry eye disease in school children. *Journal of Pediatric Ophthalmology and Strabismus*, 51(2), 87–92. <https://doi.org/10.3928/01913913-20140128-01>
- Moore. Keith L, Dalley. Arthur, A. A. M. R. (2018). Moore Clinically Oriented Anatomy EIGHTH EDITION. In *Wolters Kluwer* (Vol. 282, Issue 15). Wolters Kluwer Health.
- Mowatt, L., Gordon, C., Santosh, A. B. R., & Jones, T. (2018). Computer vision syndrome and ergonomic practices among undergraduate university students. *International Journal of Clinical Practice*, 72(1). <https://doi.org/10.1111/ijcp.13035>
- Paida, N., Yunding, J., Amin, M., Irfan. (2022). Hubungan Jarak dan Durasi Penggunaan *Gadget* dengan Kelelahan Mata Pada Mahasiswa Universitas Sulawesi Barat. *Jurnal Kesehatan Mandereng*. Vol. VI, No. III
- Pratama, P. P. A. I., Setiawan, K. H., & Purnomo, K. I. (2021). Asthenopia: Diagnosis, Tatalaksana, Terapi. *Ganesha Medicine*, 1(2), 97. <https://doi.org/10.23887/gm.v1i2.39551>
- Rahmat, N. N., Munawir, A., & Bukhori, S. (2017). Duration of gadget usage affects eye fatigue in students aged 16-18 years. *Health Notions*, 1(4), 335–340. <http://heanoti.com/index.php/hn/article/view/hn1409>
- Rosenfield, M., & Mcoptom, M. R. (2016). Computer vision syndrome (a.k.a. digital eye strain). *Optometry in Practice*, 17(February), 1–10. <https://www.researchgate.net/publication/295902618>

- Sari, F. T. A., & Himayani, R. (2018). Faktor Risiko Terjadinya Computer Vision Syndrome. *Majority*, 7(2), 278–282.
- Sarumpaet, R.G. (2021). Hubungan Antara, Jarak, Posisi Serta Durasi Penggunaan *Smartphone* dengan Derajat Kelelahan Mata Pada Mahasiswa Fakultas Kedokteran Universitas Sumatera Utara Angkatan 2018 dan 2019. Repository
- Sherwood, L. (2017). *Fisiologi Manusia dari sel ke sistem* (8th ed.). Jakarta : EGC.
- Sinurat, B., Siahaan, P. B. C., Manalu, P., Hartono, Sinaga, G. (2022). Penggunaan Gadget dengan Keluhan Mata Pada Mahasiswa Di Masa Pandemi COVID19. *Jurnal Kesehatan Komunitas*. KESKOM 8(2) : 285-292
- Sugiyono, D. (2013). *Metode Penelitian Kuantitatif, Kualitatif, dan Tindakan*.
- Syaifuddin H. (2006). *Anatomi Fisiologi untuk Mahasiswa Keperawatan* (3rd ed.).
- Yondhi. (2022). *Hubungan durasi, jarak dan posisi penggunaan smartphone terhadap kelelahan mata pada mahasiswa angkatan 2018 fakultas kedokteran universitas muhammadiyah Sumatera Utara*.
- Yuliana, L. (2018). Faktor-Faktor Yang Mempengaruhi Kelelahan Mata Mahasiswa Pada Gedung G Universitas Balikpapan. *IDENTIFIKASI: Jurnal Ilmiah Keselamatan, Kesehatan Kerja Dan Lindungan Lingkungan*, 4(2),28–42. <https://doi.org/10.36277/identifikasi.v4i2.48>

LAMPIRAN

Lampiran I


DAFTAR RIWAYAT HIDUP



Nama	: Tasya Auditha Ritonga
Tempat, Tanggal Lahir	: Padangsidimpuan, 15 September 2001
Agama	: Islam
Alamat Asal	: Jl. Brigjend Katamso No. 16, Kel.Bincar, Kec. Padangsidimpuan Utara, Padangsidimpuan, Sumatera Utara.
Alamat di Medan	: Jl. Karya Wisata, Komplek J City Cluester J Elite 6 no 6 , Medan Johor, Kota Medan, Sumatera Utara
Riwayat Pendidikan	: 1. TK Madinah Padangsidimpuan, Tahun 2005-2007 2. SDN 200110 Padangsidimpuan, Tahun 2007-2013 3. SMPN 1 Padangsidimpuan, Tahun 2013- 2016 4. SMAN 1 Padangsidimpuan, Tahun 2016- 2019 5. Universitas Islam Sumatera Utara, Tahun 2019-sekarang
Riwayat Organisasi	: 1. Center for Indonesian Medical Student's Activities lokal Universitas Islam SumateraUtara (CIMSUA UISU)

Lampiran II

SURAT PENGESAHAN JUDUL

 UNIVERSITAS ISLAM SUMATERA UTARA
FAKULTAS KEDOKTERAN
PROGRAM STUDI PENDIDIKAN DOKTER
KAMPUS : JL. STM NO. 77 SUKA MAJU, MEDAN – 20146
KAMPUS JL. SM RAJA NO. 2A MEDAN – 20212
TELP. (061) 4572733, 4143491, 4142993, FAX. 061 – 4142495

LEMBAR PENGESAHAN
JUDUL SKRIPSI

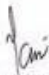
Judul : Hubungan Antara Jarak dan Durasi Penggunaan Smartphone Dengan Derajat Kebutaan Mata Pada Siswa SMK Negeri 1 Binjai


Tujuan Umum : Untuk mengetahui hubungan antara jarak dan durasi penggunaan smartphone dengan derajat keblutan mata pada siswa SMK N 1 Binjai

Tujuan Khusus : a. Untuk mengetahui jarak yang sering digunakan saat menggunakan smartphone
b. Untuk mengetahui durasi penggunaan smartphone pada siswa SMK N 1 Binjai
c. Untuk mengetahui prevalensi terjadinya keblutan mata pada siswa SMEN 1 Binjai
d. Untuk mengetahui gejala keblutan mata yang sering dialami pada siswa SMK N 1 Binjai

Nama : Tasya Anzitha Ritenga

N I M : 71190811035

Pembimbing : 
(dr. Nurul Uzzati M.Kes, M.Ked(K) Sp.KJ)

Ka. Prodi S.Ked : 
(dr. Irma Yanti Rangkuti, M.Si., M.Biomed)

NB : Mohon dikembalikan ke Bag. Unit Penelitian kurang dari 2 minggu sejak melapor ke dosen pembimbing

Lampiran III

SURAT BALASAN SURVEY AWAL







	<p>PEMERINTAH PROVINSI SUMATERA UTARA DINAS PENDIDIKAN SEKOLAH MENENGAH KEJURUAN (SMK) NEGERI 1 BINJAI Jalan Samanhudi No. 20 Kode Pos 20714 Kec. Binjai Kota – Kota Binjai Telepon 061 – 8821250 Email : smkn1_bj@gmail.com Website : www.smkn1binjai.sch.id</p>	
<p>Nomor : 422 – 873 Lamp : - Hal : Izin Survei Awal</p>	<p>Binjai, 05 Desember 2022</p>	
<p>Kepada Yth. Dekan Fakultas Ilmu Kedokteran Universitas Islam Sumatera Utara di- Tempat</p>		
<p>Berdasarkan surat dari a.n. Dekan Fakultas Ilmu Kedokteran Universitas Islam Sumatera Utara No. 1856/L/E.03/XI/2022 tanggal 28 November 2022 tentang Permohonan Survei Awal atas:</p>		
<p>Nama : TASYA AUDITHA RITONGA NPM : 71190811035</p>		
<p>Pada prinsipnya kami setuju dan memberi izin dengan tetap mengacu pada kenyamanan proses belajar mengajar pada kelas yang di observasi.</p> <p>Demikian kami sampaikan, atas perhatian dan kerjasama yang baik diucapkan terima kasih.</p>		
<p>KEPALA SMK NEGERI 1 BINJAI</p>  <p>SAKSUDDIN, S.Pd PENYUSUN TINGKAT I NIP. 19670514 200604 1 004</p>		

Lampiran IV

ABSEN BIMBINGAN DENGAN DOSEN PEMBIMBING

LEMBAR KEGIATAN BIMBINGAN PROPOSAL PENELITIAN

Dosen Pembimbing : dr. Nurul Utami, M.Kes, M. Ked (KJ), Sp. KJ

TANGGAL	MATERI DISKUSI	KETERANGAN	PARAF
18 Maret 2022	Pengajuan Judul		
23 Maret 2022	Pembahasan Judul		
19 April 2022	ACC Judul		
16 November 2022	Pembahasan Bab 1 & 2		
13 Desember 2022	Pembahasan Bab 3		
13 Desember 2022	ACC Seminar Proposal		

LEMBAR KEGIATAN BIMBINGAN HASIL PENELITIAN

Dosen Pembimbing :

TANGGAL	MATERI DISKUSI	KETERANGAN	PARAF
7 Maret 2023	Pembahasan hasil Bab IV		
7 Maret 2023	Pembahasan hasil Bab V		
7 Maret 2023	ACC Seminar Hasil		

Lampiran V

SURAT KEABSAHAN DAFTAR PUSTAKA



UNIVERSITAS ISLAM SUMATERA UTARA
FAKULTAS KEDOKTERAN

PROGRAM STUDI PENDIDIKAN KEDOKTERAN

KAMPUS : JL. STM NO. 77 MEDAN

KAMPUS JL. SM RAJA NO. 2A MEDAN – 20212

TELP. (061) 4572733, 4143491, 4142993, FAX. 061 – 4142495

SURAT PERNYATAAN KEABSAHAN DAFTAR PUSTAKA

Saya yang bertanda tangan dibawah ini telah memeriksa kebenaran daftar pustaka yang digunakan oleh :

Nama Mahasiswa : TASYA AUDITHA RITONGA
 NPM : 71190811035
 Judul Skripsi : Hubunga Antara Jarak dan Durasi Penggunaan Smartphone Dengan Derajat Kelelahan Mata Pada Siswa SMK Negeri 1 Binjai


Demikian pernyataan ini disampaikan, atas kerjasamanya diucapkan terima kasih.

Dosen Pembimbing Skripsi

(Dr. Nurul Ulami, M.Kes, M.Ked(K), Sp.KJ)

Lampiran VI

SURAT ETHICAL CLEARANCE



UNIVERSITAS ISLAM SUMATERA UTARA
FAKULTAS KEDOKTERAN
BAGIAN ETHICAL CLEARANCE
 KAMPUS JL. STM NO.77 MEDAN
 KAMPUS JL. SM. RAJA NO.2A MEDAN - 20212
 TELP. (061) 42778962

KETERANGAN LAYAK ETIK
DESCRIPTION OF ETHICAL EXEMPTION
"ETHICAL EXEMPTION"

No.373/EC/KEPK.UISU/II/2023

Protokol penelitian versi 1 yang diusulkan oleh :
The research protocol proposed by

Peneliti utama : Tasya Auditha Ritonga
Principal In Investigator

Nama Insitusi : Universitas Islam Sumatera Utara
Name of the Institution

Dengan judul:
Title
"HUBUNGAN JARAK DAN DURASI PENGGUNAAN DIGITAL DEVICE DENGAN KELUHAN MATA LELAH PADA SISWA SMK NEGERI 1 BINJAI"

"HUBUNGAN JARAK DAN DURASI PENGGUNAAN DIGITAL DEVICE DENGAN KELUHAN MATA LELAH PADA SISWA SMK NEGERI 1 BINJAI"


Dinyatakan layak etik sesuai 7 (tujuh) Standar WHO 2011, yaitu 1) Nilai Sosial, 2) Nilai Ilmiah, 3) Pemerataan Beban dan Manfaat, 4) Risiko, 5) Bujukan/Eksploitasi, 6) Kerahasiaan dan Privacy, dan 7) Persetujuan Setelah Penjelasan, yang merujuk pada Pedoman CIOMS 2016. Hal ini seperti yang ditunjukkan oleh terpenuhinya indikator setiap standar.

Declared to be ethically appropriate in accordance to 7 (seven) WHO 2011 Standards, 1) Social Values, 2) Scientific Values, 3) Equitable Assessment and Benefits, 4) Risks, 5) Persuasion/Exploitation, 6) Confidentiality and Privacy, and 7) Informed Consent, referring to the 2016 CIOMS Guidelines. This is as indicated by the fulfillment of the indicators of each standard.

Pernyataan Laik Etik ini berlaku selama kurun waktu tanggal 24 Februari 2023 sampai dengan tanggal 23 Februari 2024.

This declaration of ethics applies during the period February 24, 2023 until February 23, 2024.





February 24, 2023
Professor and Chairperson,
dr. Suryani Eka Mustika, Sp.PA

Lampiran VII

SURAT IZIN PENELITIAN



UNIVERSITAS ISLAM SUMATERA UTARA
FAKULTAS KEDOKTERAN

KAMPUS JL. STM NO. 77 MEDAN
 KAMPUS JL. SM. RAJA NO. 2 A MEDAN - 20212
 TELP. (061) 42778962

Nomor : 471 /U.E.03/III/2023
 Lampiran : -
 Hal : Permohonan Survey Awal dan Izin Penelitian

Medan, Il. Sya'ban 1444 H
 03 Maret 2023 M

Kepada Yth.
 Kepala Sekolah SMA Negeri 1 Binjai
 Di
 Tempat

Dengan hormat, kami doakan semoga Bapak berada dalam keadaan sehat wal afiat dan sukses menjalankan tugas sehari-hari. Amin.

Sehubungan dengan rencana penyusunan Proposal Skripsi mahasiswa FK UISU dengan tema " Hubungan Jarak Dan Durasi Penggunaan Digital Device Dengan Keluhan Mata Lelah Pada Siswa SMK Negeri 1 Binjai " maka dengan ini kami memohon izin agar mahasiswa FK UISU yang bernama :

Nama : Tasya Auditha Ritonga

NPM : 71190811035

Untuk dapat melaksanakan Penelitian di Sekolah SMA Negeri 1 Binjai.

Demikianlah disampaikan dan atas perhatiannya kami ucapkan terimakasih.

An. Dekan
 Wakil Dekan Bidang Akademik dan Dakwah Islamiyah



dr. Dewi Pangestuti, M.Biomed

Tembusan :
 1. Yth. Dekan Fakultas Kedokteran UISU (sebagai laporan)
 2. Peninggal

Lampiran VIII

SURAT KETERANGAN SELESAI PENELITIAN

**SURAT KETERANGAN**

Nomor: 070 - 063

Yang bertanda tangan di bawah ini, Kepala SMK Negeri 1 Binjai dengan ini menerangkan:

Nama : TASYA AUDITHA RITONGA
NIM : 71190811035
Tema Skripsi : Hubungan Jarak dan Durasi Penggunaan Digital Device Dengan Keluhan Mata Lelah Pada Siswa SMK Negeri 1 Binjai.

Bahwa Saudara tersebut di atas benar telah melaksanakan survey awal dan penelitian di SMK Negeri 1 Binjai pada tanggal 04 Maret 2023.

Demikian Surat Keterangan ini dibuat, untuk dapat digunakan sebagaimana mestinya.

Binjai, 04 Maret 2023

Kepala SMK Negeri 1 Binjai



Lampiran IX**LEMBAR PERMOHONAN MENJADI RESPONDEN PENELITIAN**

Assalamu'alaikum Warahmatullahi Wabarakatuh

Nama Tasya Auditha Ritonga, sedang menjalankan program studi S1 di Fakultas Kedokteran Universitas Islam Sumatera Utara. Saya sedang melakukan penelitian yang berjudul **“Hubungan Jarak dan Durasi Pemakaian Smartphone dengan Derajat Mata Lelah pada Siswa SMK N 1 Binjai”**. Maka dari itu mohon untuk ketersediaan Saudara/i untuk bersedia menjadi responden penelitian ini dengan menjawab beberapa pertanyaan yang telah dipersiapkan.

Segala informasi yang saudara/i berikan hanya akan digunakan untuk keperluan penelitian ini. Saudara/i tidak akan dikenakan biaya apapun, apabila membutuhkan penjelasan maka dapat menghubungi saya :

Nama : Tasya Auditha Ritonga

Alamat : Jl. Karya Wisata, Komplek J City Clueter J Elite 6 no 6

No. HP : 081375375149

Jika saudara/i sudah memahami penjelasan ini, hal yang menyangkut penelitian ini diharapkan saudara bersedia berpartisipasi dan dipersilahkan untuk menandatangani lembar persetujuan yang akan dilampirkan.

Medan, 2023



Peneliti,

Tasya Auditha Ritonga

Lampiran X**LEMBAR PERSETUJUAN RESPONDEN**
(INFORMED CONSENT)

Saya yang bertanda tangan dibawah ini :

Nama :

Umur :

Alamat :

No. HP :

Menyatakan bersedia menjadi responden kepada:

Nama : Tasya Auditha Ritonga

NPM 71190811035

Alamat : Jl. Karya Wisata, Komplek J City Clueter J Elite 6 no 6

Judul Penelitian : Hubungan Jarak dan Durasi Pemakaian Smartphone dengan Derajat Mata Lelah pada Siswa SMK N 1 Binjai.

Saya bersedia untuk mengisi kuesioner dengan jujur demi kepentingan penelitian. Dengan ketentuan, data yang diberikan hanya akan digunakan untuk kepentingan ilmu pengetahuan.

Demikian surat pernyataan ini saya sampaikan agar dapat dipergunakan sebagaimana mestinya.

Medan, 2023

Responden

Lampiran XI

LEMBAR KUESIONER

Karakteristik Responden

Nama :

Usia :

Jenis Kelamin :

- a. Laki-laki
- b. Perempuan

Kelas :

Jurusan :

No.	Pertanyaan	Jawaban			
		Tidak Pernah	Kadang-kadang	Sering	Selalu
1.	Apakah mata anda kabur jika melihat atau tidak fokus sewaktu menggunakan <i>digital device</i>				
2.	Apakah mata anda terasa Lelah jika menggunakan <i>digital device</i>				
3.	Apakah mata anda sering berkedip-kedip saat menggunakan <i>digital device</i>				
4.	Apakah jika menggunakan <i>digital device</i> membuat kepala anda sakit (dalam waktu singkat)				

5.	Apakah mata anda terasa lelah jika menggunakan <i>digital device</i> dengan posisi berbaring				
6.	Apakah mata anda terasa Lelah jika menggunakan <i>digital device</i> dengan posisi duduk				
7.	Apakah anda menutup sebelah mata anda pada saat menggunakan <i>digital device</i>				
8.	Apakah kata-kata dalam <i>digital device</i> bergerak jika anda membaca				
9.	Apakah baris yang anda baca pernah terlewatkan atau terulang lagi ketika anda membaca				
10.	Apakah pada saat menatap layar <i>digital device</i> , tiba-tiba benda dalam ruangan yang anda lihat terasa kabur				
11.	Apakah penglihatan anda lebih buruk pada sore dan malam hari dari pada pagi hari				
12.	Apakah Ketika saat membaca suatu tulisan dengan waktu sebentar di <i>digital device</i> mata anda terasa kabur				
13.	Apakah saat menggunakan <i>digital device</i> mata anda selalumelihat secara terus menerus tanpa berkedip				

14.	Apakah saat menggunakan smartphone jarak mata dengan layar <i>digital device</i> ≤ 30 cm				
15.	Apakah ketika menggunakan <i>digital device</i> layar lebih tinggi dari pada pandangan anda				
16.	Apakah saat menggunakan <i>digital device</i> mata anda terasanyeri, perih dan gatal				
17.	Apakah saat menggunakan <i>digital device</i> mata anda terasaberair dan kering				
18.	Apakah penglihatan anda terasa ganda/berbayang				
19.	Apakah mata anda lebih sensitive terhadap cahaya				
20.	Pada saat menggunakan <i>digital device</i> apakah anda sering mengalami nyeri pada leher, bahu atau pinggang				
21.	Apakah anda selalu mengistirahatkan mata anda setelah menggunakan <i>digital device</i> selama satu jam				
22.	Apakah anda terasa kedua mata anda tidak berfungsi dengan baik				

Pertanyaan Pendukung

Berapa lama anda Ketika menggunakan *smartphone* :

- a. > 3 jam
 - b. < 3 jam
2. Berapa jarak mata dengan layar saat anda menggunakan *smartphone* :
- a. > 30 cm
 - b. <30 cm

Lampiran XII

OUTPUT SPSS UJI VALIDITAS dan REALIBILITAS

		Correlations					
		VAR00001	VAR00002	VAR00003	VAR00004	VAR00005	VAR00006
VAR00001	Pearson Correlation	1	.049	.106	.071	.071	.031
	Sig. (2-tailed)		.797	.578	.710	.710	.871
	N	30	30	30	30	30	30
VAR00002	Pearson Correlation	.049	1	.309	.279	.279	.632**
	Sig. (2-tailed)	.797		.097	.136	.136	.000
	N	30	30	30	30	30	30
VAR00003	Pearson Correlation	.106	.309	1	.327	.327	.098
	Sig. (2-tailed)	.578	.097		.078	.078	.608
	N	30	30	30	30	30	30
VAR00004	Pearson Correlation	.071	.279	.327	1	1.000**	.176
	Sig. (2-tailed)	.710	.136	.078		.000	.352
	N	30	30	30	30	30	30
VAR00005	Pearson Correlation	.071	.279	.327	1.000**	1	.176
	Sig. (2-tailed)	.710	.136	.078	.000		.352
	N	30	30	30	30	30	30
VAR00006	Pearson Correlation	.031	.632**	.098	.176	.176	1
	Sig. (2-tailed)	.871	.000	.608	.352	.352	
	N	30	30	30	30	30	30
VAR00007	Pearson Correlation	.558**	.154	.048	-.017	-.017	.098
	Sig. (2-tailed)	.001	.416	.803	.928	.928	.608
	N	30	30	30	30	30	30
VAR00008	Pearson Correlation	.657**	.000	.218	.118	.118	.000
	Sig. (2-tailed)	.000	1.000	.247	.534	.534	1.000
	N	30	30	30	30	30	30
VAR00009	Pearson Correlation	.049	1.000**	.309	.279	.279	.632**
	Sig. (2-tailed)	.797	.000	.097	.136	.136	.000
	N	30	30	30	30	30	30
VAR00010	Pearson Correlation	.106	.617**	.206	.499**	.499**	.683**
	Sig. (2-tailed)	.578	.000	.274	.005	.005	.000
	N	30	30	30	30	30	30
VAR00011	Pearson Correlation	.793**	.213	.263	.202	.202	.135
	Sig. (2-tailed)	.000	.258	.160	.284	.284	.477
	N	30	30	30	30	30	30
VAR00012	Pearson Correlation	.657**	.000	.218	.118	.118	.000
	Sig. (2-tailed)	.000	1.000	.247	.534	.534	1.000
	N	30	30	30	30	30	30
VAR00013	Pearson Correlation	.049	1.000**	.309	.279	.279	.632**
	Sig. (2-tailed)	.797	.000	.097	.136	.136	.000
	N	30	30	30	30	30	30
VAR00014	Pearson Correlation	.106	.617**	.206	.499**	.499**	.683**

** . Correlation is significant at the 0.01 level (2-tailed).

* . Correlation is significant at the 0.05 level (2-tailed).

Correlations

		VAR00007	VAR00008	VAR00009	VAR00010	VAR00011	VAR00012
VAR00001	Pearson Correlation	.558 ^{**}	.657 ^{**}	.049	.106	.793 ^{**}	.657 ^{**}
	Sig. (2-tailed)	.001	.000	.797	.578	.000	.000
	N	30	30	30	30	30	30
VAR00002	Pearson Correlation	.154	.000	1.000 ^{**}	.617 ^{**}	.213	.000
	Sig. (2-tailed)	.416	1.000	.000	.000	.258	1.000
	N	30	30	30	30	30	30
VAR00003	Pearson Correlation	.048	.218	.309	.206	.263	.218
	Sig. (2-tailed)	.803	.247	.097	.274	.160	.247
	N	30	30	30	30	30	30
VAR00004	Pearson Correlation	-.017	.118	.279	.499 ^{**}	.202	.118
	Sig. (2-tailed)	.928	.534	.136	.005	.284	.534
	N	30	30	30	30	30	30
VAR00005	Pearson Correlation	-.017	.118	.279	.499 ^{**}	.202	.118
	Sig. (2-tailed)	.928	.534	.136	.005	.284	.534
	N	30	30	30	30	30	30
VAR00006	Pearson Correlation	.098	.000	.632 ^{**}	.683 ^{**}	.135	.000
	Sig. (2-tailed)	.608	1.000	.000	.000	.477	1.000
	N	30	30	30	30	30	30
VAR00007	Pearson Correlation	1	.400 [*]	.154	.206	.428 [*]	.400 [*]
	Sig. (2-tailed)		.028	.416	.274	.018	.028
	N	30	30	30	30	30	30
VAR00008	Pearson Correlation	.400 [*]	1	.000	.218	.829 ^{**}	1.000 ^{**}
	Sig. (2-tailed)	.028		1.000	.247	.000	.000
	N	30	30	30	30	30	30
VAR00009	Pearson Correlation	.154	.000	1	.617 ^{**}	.213	.000
	Sig. (2-tailed)	.416	1.000		.000	.258	1.000
	N	30	30	30	30	30	30
VAR00010	Pearson Correlation	.206	.218	.617 ^{**}	1	.263	.218
	Sig. (2-tailed)	.274	.247	.000		.160	.247
	N	30	30	30	30	30	30
VAR00011	Pearson Correlation	.428 [*]	.829 ^{**}	.213	.263	1	.829 ^{**}
	Sig. (2-tailed)	.018	.000	.258	.160		.000
	N	30	30	30	30	30	30
VAR00012	Pearson Correlation	.400 [*]	1.000 ^{**}	.000	.218	.829 ^{**}	1
	Sig. (2-tailed)	.028	.000	1.000	.247	.000	
	N	30	30	30	30	30	30
VAR00013	Pearson Correlation	.154	.000	1.000 ^{**}	.617 ^{**}	.213	.000
	Sig. (2-tailed)	.416	1.000	.000	.000	.258	1.000
	N	30	30	30	30	30	30
VAR00014	Pearson Correlation	.206	.218	.617 ^{**}	1.000 ^{**}	.263	.218

** . Correlation is significant at the 0.01 level (2-tailed).

* . Correlation is significant at the 0.05 level (2-tailed).

Correlations

		VAR00013	VAR00014	VAR00015	VAR00016	VAR00017	VAR00018
VAR00001	Pearson Correlation	.049	.106	.010	.031	.558**	.657**
	Sig. (2-tailed)	.797	.578	.956	.871	.001	.000
	N	30	30	30	30	30	30
VAR00002	Pearson Correlation	1.000**	.617**	.373*	.632**	.154	.000
	Sig. (2-tailed)	.000	.000	.042	.000	.416	1.000
	N	30	30	30	30	30	30
VAR00003	Pearson Correlation	.309	.206	.263	.098	.048	.218
	Sig. (2-tailed)	.097	.274	.160	.608	.803	.247
	N	30	30	30	30	30	30
VAR00004	Pearson Correlation	.279	.499**	.915**	.176	-.017	.118
	Sig. (2-tailed)	.136	.005	.000	.352	.928	.534
	N	30	30	30	30	30	30
VAR00005	Pearson Correlation	.279	.499**	.915**	.176	-.017	.118
	Sig. (2-tailed)	.136	.005	.000	.352	.928	.534
	N	30	30	30	30	30	30
VAR00006	Pearson Correlation	.632**	.683**	.135	1.000**	.098	.000
	Sig. (2-tailed)	.000	.000	.477	.000	.608	1.000
	N	30	30	30	30	30	30
VAR00007	Pearson Correlation	.154	.206	-.066	.098	1.000**	.400*
	Sig. (2-tailed)	.416	.274	.730	.608	.000	.028
	N	30	30	30	30	30	30
VAR00008	Pearson Correlation	.000	.218	.075	.000	.400*	1.000**
	Sig. (2-tailed)	1.000	.247	.692	1.000	.028	.000
	N	30	30	30	30	30	30
VAR00009	Pearson Correlation	1.000**	.617**	.373*	.632**	.154	.000
	Sig. (2-tailed)	.000	.000	.042	.000	.416	1.000
	N	30	30	30	30	30	30
VAR00010	Pearson Correlation	.617**	1.000**	.428*	.683**	.206	.218
	Sig. (2-tailed)	.000	.000	.018	.000	.274	.247
	N	30	30	30	30	30	30
VAR00011	Pearson Correlation	.213	.263	.148	.135	.428*	.829**
	Sig. (2-tailed)	.258	.160	.436	.477	.018	.000
	N	30	30	30	30	30	30
VAR00012	Pearson Correlation	.000	.218	.075	.000	.400*	1.000**
	Sig. (2-tailed)	1.000	.247	.692	1.000	.028	.000
	N	30	30	30	30	30	30
VAR00013	Pearson Correlation	1	.617**	.373*	.632**	.154	.000
	Sig. (2-tailed)		.000	.042	.000	.416	1.000
	N	30	30	30	30	30	30
VAR00014	Pearson Correlation	.617**	1	.428*	.683**	.206	.218

** . Correlation is significant at the 0.01 level (2-tailed).

* . Correlation is significant at the 0.05 level (2-tailed).

Correlations

		VAR00019	VAR00020	VAR00021	VAR00022	VAR00023	VAR00024
VAR00001	Pearson Correlation	.049	.106	.793**	.657**	.049	.106
	Sig. (2-tailed)	.797	.578	.000	.000	.797	.578
	N	30	30	30	30	30	30
VAR00002	Pearson Correlation	1.000**	.617**	.213	.000	1.000**	.617**
	Sig. (2-tailed)	.000	.000	.258	1.000	.000	.000
	N	30	30	30	30	30	30
VAR00003	Pearson Correlation	.309	.206	.263	.218	.309	.206
	Sig. (2-tailed)	.097	.274	.160	.247	.097	.274
	N	30	30	30	30	30	30
VAR00004	Pearson Correlation	.279	.499**	.202	.118	.279	.499**
	Sig. (2-tailed)	.136	.005	.284	.534	.136	.005
	N	30	30	30	30	30	30
VAR00005	Pearson Correlation	.279	.499**	.202	.118	.279	.499**
	Sig. (2-tailed)	.136	.005	.284	.534	.136	.005
	N	30	30	30	30	30	30
VAR00006	Pearson Correlation	.632**	.683**	.135	.000	.632**	.683**
	Sig. (2-tailed)	.000	.000	.477	1.000	.000	.000
	N	30	30	30	30	30	30
VAR00007	Pearson Correlation	.154	.206	.428*	.400*	.154	.206
	Sig. (2-tailed)	.416	.274	.018	.028	.416	.274
	N	30	30	30	30	30	30
VAR00008	Pearson Correlation	.000	.218	.829**	1.000**	.000	.218
	Sig. (2-tailed)	1.000	.247	.000	.000	1.000	.247
	N	30	30	30	30	30	30
VAR00009	Pearson Correlation	1.000**	.617**	.213	.000	1.000**	.617**
	Sig. (2-tailed)	.000	.000	.258	1.000	.000	.000
	N	30	30	30	30	30	30
VAR00010	Pearson Correlation	.617**	1.000**	.263	.218	.617**	1.000**
	Sig. (2-tailed)	.000	.000	.160	.247	.000	.000
	N	30	30	30	30	30	30
VAR00011	Pearson Correlation	.213	.263	1.000**	.829**	.213	.263
	Sig. (2-tailed)	.258	.160	.000	.000	.258	.160
	N	30	30	30	30	30	30
VAR00012	Pearson Correlation	.000	.218	.829**	1.000**	.000	.218
	Sig. (2-tailed)	1.000	.247	.000	.000	1.000	.247
	N	30	30	30	30	30	30
VAR00013	Pearson Correlation	1.000**	.617**	.213	.000	1.000**	.617**
	Sig. (2-tailed)	.000	.000	.258	1.000	.000	.000
	N	30	30	30	30	30	30
VAR00014	Pearson Correlation	.617**	1.000**	.263	.218	.617**	1.000**

** . Correlation is significant at the 0.01 level (2-tailed).

* . Correlation is significant at the 0.05 level (2-tailed).

Correlations

		VAR00025	PTOTAL
VAR00001	Pearson Correlation	.010	.466**
	Sig. (2-tailed)	.956	.009
	N	30	30
VAR00002	Pearson Correlation	.373*	.733**
	Sig. (2-tailed)	.042	.000
	N	30	30
VAR00003	Pearson Correlation	.263	.412*
	Sig. (2-tailed)	.160	.024
	N	30	30
VAR00004	Pearson Correlation	.915**	.568**
	Sig. (2-tailed)	.000	.001
	N	30	30
VAR00005	Pearson Correlation	.915**	.568**
	Sig. (2-tailed)	.000	.001
	N	30	30
VAR00006	Pearson Correlation	.135	.587**
	Sig. (2-tailed)	.477	.001
	N	30	30
VAR00007	Pearson Correlation	-.066	.433*
	Sig. (2-tailed)	.730	.017
	N	30	30
VAR00008	Pearson Correlation	.075	.537**
	Sig. (2-tailed)	.692	.002
	N	30	30
VAR00009	Pearson Correlation	.373*	.733**
	Sig. (2-tailed)	.042	.000
	N	30	30
VAR00010	Pearson Correlation	.428*	.805**
	Sig. (2-tailed)	.018	.000
	N	30	30
VAR00011	Pearson Correlation	.148	.656**
	Sig. (2-tailed)	.436	.000
	N	30	30
VAR00012	Pearson Correlation	.075	.537**
	Sig. (2-tailed)	.692	.002
	N	30	30
VAR00013	Pearson Correlation	.373*	.733**
	Sig. (2-tailed)	.042	.000
	N	30	30
VAR00014	Pearson Correlation	.428*	.805**

** . Correlation is significant at the 0.01 level (2-tailed).

* . Correlation is significant at the 0.05 level (2-tailed).

Correlations

		VAR00001	VAR00002	VAR00003	VAR00004	VAR00005	VAR00006
VAR00014	Sig. (2-tailed)	.578	.000	.274	.005	.005	.000
	N	30	30	30	30	30	30
VAR00015	Pearson Correlation	.010	.373 [*]	.263	.915 ^{**}	.915 ^{**}	.135
	Sig. (2-tailed)	.956	.042	.160	.000	.000	.477
	N	30	30	30	30	30	30
VAR00016	Pearson Correlation	.031	.632 ^{**}	.098	.176	.176	1.000 ^{**}
	Sig. (2-tailed)	.871	.000	.608	.352	.352	.000
	N	30	30	30	30	30	30
VAR00017	Pearson Correlation	.558 ^{**}	.154	.048	-.017	-.017	.098
	Sig. (2-tailed)	.001	.416	.803	.928	.928	.608
	N	30	30	30	30	30	30
VAR00018	Pearson Correlation	.657 ^{**}	.000	.218	.118	.118	.000
	Sig. (2-tailed)	.000	1.000	.247	.534	.534	1.000
	N	30	30	30	30	30	30
VAR00019	Pearson Correlation	.049	1.000 ^{**}	.309	.279	.279	.632 ^{**}
	Sig. (2-tailed)	.797	.000	.097	.136	.136	.000
	N	30	30	30	30	30	30
VAR00020	Pearson Correlation	.106	.617 ^{**}	.206	.499 ^{**}	.499 ^{**}	.683 ^{**}
	Sig. (2-tailed)	.578	.000	.274	.005	.005	.000
	N	30	30	30	30	30	30
VAR00021	Pearson Correlation	.793 ^{**}	.213	.263	.202	.202	.135
	Sig. (2-tailed)	.000	.258	.160	.284	.284	.477
	N	30	30	30	30	30	30
VAR00022	Pearson Correlation	.657 ^{**}	.000	.218	.118	.118	.000
	Sig. (2-tailed)	.000	1.000	.247	.534	.534	1.000
	N	30	30	30	30	30	30
VAR00023	Pearson Correlation	.049	1.000 ^{**}	.309	.279	.279	.632 ^{**}
	Sig. (2-tailed)	.797	.000	.097	.136	.136	.000
	N	30	30	30	30	30	30
VAR00024	Pearson Correlation	.106	.617 ^{**}	.206	.499 ^{**}	.499 ^{**}	.683 ^{**}
	Sig. (2-tailed)	.578	.000	.274	.005	.005	.000
	N	30	30	30	30	30	30
VAR00025	Pearson Correlation	.010	.373 [*]	.263	.915 ^{**}	.915 ^{**}	.135
	Sig. (2-tailed)	.956	.042	.160	.000	.000	.477
	N	30	30	30	30	30	30
PTOTAL	Pearson Correlation	.466 ^{**}	.733 ^{**}	.412 [*]	.568 ^{**}	.568 ^{**}	.587 ^{**}
	Sig. (2-tailed)	.009	.000	.024	.001	.001	.001
	N	30	30	30	30	30	30

** . Correlation is significant at the 0.01 level (2-tailed).

* . Correlation is significant at the 0.05 level (2-tailed).

Correlations

		VAR00007	VAR00008	VAR00009	VAR00010	VAR00011	VAR00012
VAR00014	Sig. (2-tailed)	.274	.247	.000	.000	.160	.247
	N	30	30	30	30	30	30
VAR00015	Pearson Correlation	-.066	.075	.373 [*]	.428 [*]	.148	.075
	Sig. (2-tailed)	.730	.692	.042	.018	.436	.692
	N	30	30	30	30	30	30
VAR00016	Pearson Correlation	.098	.000	.632 ^{**}	.683 ^{**}	.135	.000
	Sig. (2-tailed)	.608	1.000	.000	.000	.477	1.000
	N	30	30	30	30	30	30
VAR00017	Pearson Correlation	1.000 ^{**}	.400 [*]	.154	.206	.428 [*]	.400 [*]
	Sig. (2-tailed)	.000	.028	.416	.274	.018	.028
	N	30	30	30	30	30	30
VAR00018	Pearson Correlation	.400 [*]	1.000 ^{**}	.000	.218	.829 ^{**}	1.000 ^{**}
	Sig. (2-tailed)	.028	.000	1.000	.247	.000	.000
	N	30	30	30	30	30	30
VAR00019	Pearson Correlation	.154	.000	1.000 ^{**}	.617 ^{**}	.213	.000
	Sig. (2-tailed)	.416	1.000	.000	.000	.258	1.000
	N	30	30	30	30	30	30
VAR00020	Pearson Correlation	.206	.218	.617 ^{**}	1.000 ^{**}	.263	.218
	Sig. (2-tailed)	.274	.247	.000	.000	.160	.247
	N	30	30	30	30	30	30
VAR00021	Pearson Correlation	.428 [*]	.829 ^{**}	.213	.263	1.000 ^{**}	.829 ^{**}
	Sig. (2-tailed)	.018	.000	.258	.160	.000	.000
	N	30	30	30	30	30	30
VAR00022	Pearson Correlation	.400 [*]	1.000 ^{**}	.000	.218	.829 ^{**}	1.000 ^{**}
	Sig. (2-tailed)	.028	.000	1.000	.247	.000	.000
	N	30	30	30	30	30	30
VAR00023	Pearson Correlation	.154	.000	1.000 ^{**}	.617 ^{**}	.213	.000
	Sig. (2-tailed)	.416	1.000	.000	.000	.258	1.000
	N	30	30	30	30	30	30
VAR00024	Pearson Correlation	.206	.218	.617 ^{**}	1.000 ^{**}	.263	.218
	Sig. (2-tailed)	.274	.247	.000	.000	.160	.247
	N	30	30	30	30	30	30
VAR00025	Pearson Correlation	-.066	.075	.373 [*]	.428 [*]	.148	.075
	Sig. (2-tailed)	.730	.692	.042	.018	.436	.692
	N	30	30	30	30	30	30
PTOTAL	Pearson Correlation	.433 [*]	.537 ^{**}	.733 ^{**}	.805 ^{**}	.656 ^{**}	.537 ^{**}
	Sig. (2-tailed)	.017	.002	.000	.000	.000	.002
	N	30	30	30	30	30	30

** . Correlation is significant at the 0.01 level (2-tailed).

* . Correlation is significant at the 0.05 level (2-tailed).

Correlations

		VAR00013	VAR00014	VAR00015	VAR00016	VAR00017	VAR00018
VAR00014	Sig. (2-tailed)	.000		.018	.000	.274	.247
	N	30	30	30	30	30	30
VAR00015	Pearson Correlation	.373 [*]	.428 ^{**}	1	.135	-.066	.075
	Sig. (2-tailed)	.042	.018		.477	.730	.692
	N	30	30	30	30	30	30
VAR00016	Pearson Correlation	.632 ^{**}	.683 ^{**}	.135	1	.098	.000
	Sig. (2-tailed)	.000	.000	.477		.608	1.000
	N	30	30	30	30	30	30
VAR00017	Pearson Correlation	.154	.206	-.066	.098	1	.400 [*]
	Sig. (2-tailed)	.416	.274	.730	.608		.028
	N	30	30	30	30	30	30
VAR00018	Pearson Correlation	.000	.218	.075	.000	.400 [*]	1
	Sig. (2-tailed)	1.000	.247	.692	1.000	.028	
	N	30	30	30	30	30	30
VAR00019	Pearson Correlation	1.000 ^{**}	.617 ^{**}	.373 [*]	.632 ^{**}	.154	.000
	Sig. (2-tailed)	.000	.000	.042	.000	.416	1.000
	N	30	30	30	30	30	30
VAR00020	Pearson Correlation	.617 ^{**}	1.000 ^{**}	.428 [*]	.683 ^{**}	.206	.218
	Sig. (2-tailed)	.000	.000	.018	.000	.274	.247
	N	30	30	30	30	30	30
VAR00021	Pearson Correlation	.213	.263	.148	.135	.428 [*]	.829 ^{**}
	Sig. (2-tailed)	.258	.160	.436	.477	.018	.000
	N	30	30	30	30	30	30
VAR00022	Pearson Correlation	.000	.218	.075	.000	.400 [*]	1.000 ^{**}
	Sig. (2-tailed)	1.000	.247	.692	1.000	.028	.000
	N	30	30	30	30	30	30
VAR00023	Pearson Correlation	1.000 ^{**}	.617 ^{**}	.373 [*]	.632 ^{**}	.154	.000
	Sig. (2-tailed)	.000	.000	.042	.000	.416	1.000
	N	30	30	30	30	30	30
VAR00024	Pearson Correlation	.617 ^{**}	1.000 ^{**}	.428 [*]	.683 ^{**}	.206	.218
	Sig. (2-tailed)	.000	.000	.018	.000	.274	.247
	N	30	30	30	30	30	30
VAR00025	Pearson Correlation	.373 [*]	.428 [*]	1.000 ^{**}	.135	-.066	.075
	Sig. (2-tailed)	.042	.018	.000	.477	.730	.692
	N	30	30	30	30	30	30
PTOTAL	Pearson Correlation	.733 ^{**}	.805 ^{**}	.546 ^{**}	.587 ^{**}	.433 [*]	.537 ^{**}
	Sig. (2-tailed)	.000	.000	.002	.001	.017	.002
	N	30	30	30	30	30	30

** . Correlation is significant at the 0.01 level (2-tailed).

* . Correlation is significant at the 0.05 level (2-tailed).

Correlations

		VAR00019	VAR00020	VAR00021	VAR00022	VAR00023	VAR00024
VAR00014	Sig. (2-tailed)	.000	.000	.160	.247	.000	.000
	N	30	30	30	30	30	30
VAR00015	Pearson Correlation	.373 [*]	.428 [*]	.148	.075	.373 [*]	.428 [*]
	Sig. (2-tailed)	.042	.018	.436	.692	.042	.018
	N	30	30	30	30	30	30
VAR00016	Pearson Correlation	.632 ^{**}	.683 ^{**}	.135	.000	.632 ^{**}	.683 ^{**}
	Sig. (2-tailed)	.000	.000	.477	1.000	.000	.000
	N	30	30	30	30	30	30
VAR00017	Pearson Correlation	.154	.206	.428 [*]	.400 [*]	.154	.206
	Sig. (2-tailed)	.416	.274	.018	.028	.416	.274
	N	30	30	30	30	30	30
VAR00018	Pearson Correlation	.000	.218	.829 ^{**}	1.000 ^{**}	.000	.218
	Sig. (2-tailed)	1.000	.247	.000	.000	1.000	.247
	N	30	30	30	30	30	30
VAR00019	Pearson Correlation	1	.617 ^{**}	.213	.000	1.000 ^{**}	.617 ^{**}
	Sig. (2-tailed)		.000	.258	1.000	.000	.000
	N	30	30	30	30	30	30
VAR00020	Pearson Correlation	.617 ^{**}	1	.263	.218	.617 ^{**}	1.000 ^{**}
	Sig. (2-tailed)	.000		.160	.247	.000	.000
	N	30	30	30	30	30	30
VAR00021	Pearson Correlation	.213	.263	1	.829 ^{**}	.213	.263
	Sig. (2-tailed)	.258	.160		.000	.258	.160
	N	30	30	30	30	30	30
VAR00022	Pearson Correlation	.000	.218	.829 ^{**}	1	.000	.218
	Sig. (2-tailed)	1.000	.247	.000		1.000	.247
	N	30	30	30	30	30	30
VAR00023	Pearson Correlation	1.000 ^{**}	.617 ^{**}	.213	.000	1	.617 ^{**}
	Sig. (2-tailed)	.000	.000	.258	1.000		.000
	N	30	30	30	30	30	30
VAR00024	Pearson Correlation	.617 ^{**}	1.000 ^{**}	.263	.218	.617 ^{**}	1
	Sig. (2-tailed)	.000	.000	.160	.247	.000	
	N	30	30	30	30	30	30
VAR00025	Pearson Correlation	.373 [*]	.428 [*]	.148	.075	.373 [*]	.428 [*]
	Sig. (2-tailed)	.042	.018	.436	.692	.042	.018
	N	30	30	30	30	30	30
PTOTAL	Pearson Correlation	.733 ^{**}	.805 ^{**}	.656 ^{**}	.537 ^{**}	.733 ^{**}	.805 ^{**}
	Sig. (2-tailed)	.000	.000	.000	.002	.000	.000
	N	30	30	30	30	30	30

** . Correlation is significant at the 0.01 level (2-tailed).

* . Correlation is significant at the 0.05 level (2-tailed).

Correlations

		VAR00025	PTOTAL
VAR00014	Sig. (2-tailed)	.018	.000
	N	30	30
VAR00015	Pearson Correlation	1.000**	.546**
	Sig. (2-tailed)	.000	.002
	N	30	30
VAR00016	Pearson Correlation	.135	.587**
	Sig. (2-tailed)	.477	.001
	N	30	30
VAR00017	Pearson Correlation	-.066	.433*
	Sig. (2-tailed)	.730	.017
	N	30	30
VAR00018	Pearson Correlation	.075	.537**
	Sig. (2-tailed)	.692	.002
	N	30	30
VAR00019	Pearson Correlation	.373*	.733**
	Sig. (2-tailed)	.042	.000
	N	30	30
VAR00020	Pearson Correlation	.428*	.805**
	Sig. (2-tailed)	.018	.000
	N	30	30
VAR00021	Pearson Correlation	.148	.656**
	Sig. (2-tailed)	.436	.000
	N	30	30
VAR00022	Pearson Correlation	.075	.537**
	Sig. (2-tailed)	.692	.002
	N	30	30
VAR00023	Pearson Correlation	.373*	.733**
	Sig. (2-tailed)	.042	.000
	N	30	30
VAR00024	Pearson Correlation	.428*	.805**
	Sig. (2-tailed)	.018	.000
	N	30	30
VAR00025	Pearson Correlation	1	.546**
	Sig. (2-tailed)		.002
	N	30	30
PTOTAL	Pearson Correlation	.546**	1
	Sig. (2-tailed)	.002	
	N	30	30

** . Correlation is significant at the 0.01 level (2-tailed).

* . Correlation is significant at the 0.05 level (2-tailed).

Scale: ALL VARIABLES

Case Processing Summary

		N	%
Cases	Valid	30	100.0
	Excluded ^a	0	.0
	Total	30	100.0

a. Listwise deletion based on all variables in the procedure.

Reliability Statistics

Cronbach's Alpha	N of Items
.934	25

Lampiran XIII

MASTER DATA

No	Nama	JK	Usia	Durasi	Jarak	Kelelahan Mata
1	AA	PR	2	>30	< 3jam	0.5
2	ANC	PR	1	>30	< 3jam	0.6
3	ACAI	PR	2	>30	< 3jam	0.2
4	AMA	LK	2	<30	< 3jam	0.6
5	A	PR	2	<30	> 3jam	0.2
6	AY	LK	2	>30	> 3jam	0.1
7	AQS	PR	1	<30	< 3jam	0.6
8	AP	PR	2	>30	< 3jam	0.1
9	BR	PR	2	>30	< 3jam	0.5
10	DN	LK	1	>30	> 3jam	0.1
11	DNAC	PR	2	>30	< 3jam	0.5
12	DP	LK	1	>30	< 3jam	0.5
13	DPR	PR	2	<30	> 3jam	0.2
14	DFS	LK	1	<30	< 3jam	0.6
15	DS	PR	1	<30	> 3jam	0.1
16	ERV I	PR	1	<30	< 3jam	0.2
17	EF	PR	2	<30	> 3jam	0.2
18	FMD	PR	1	<30	> 3jam	0.1
19	FR	PR	1	<30	> 3jam	0.1
20	ILS	LK	1	<30	> 3jam	0.1
21	LL	PR	1	<30	> 3jam	0.1
22	MI	PR	2	<30	< 3jam	0.1
23	MIR	LK	2	<30	> 3jam	0.2
24	MIH	LK	1	<30	< 3jam	0.2
25	MS	LK	1	>30	< 3jam	0.6
26	M	PR	1	<30	< 3jam	0.6
27	NCL	PR	1	>30	> 3jam	0.7
28	NA	PR	2	>30	> 3jam	0.2

29	NI	PR	1	>30	< 3jam	0.1
30	NAZ	LK	2	>30	< 3jam	0.5
31	RA	PR	1	>30	< 3jam	0.6
32	RAD	PR	1	<30	> 3jam	0.1
33	SA	PR	2	<30	> 3jam	0.1
34	TSA	LK	1	>30	< 3jam	0.5
35	VK	PR	1	>30	< 3jam	0.6
36	YS	LK	1	<30	> 3jam	0.3
37	A	PR	1	>30	< 3jam	0.5
38	APB	PR	1	<30	> 3jam	0.3
39	AO	PR	2	<30	> 3jam	0.2
40	AM	LK	1	>30	< 3jam	0.6
41	ANJ	PR	2	>30	< 3jam	0.6
42	BDP	PR	1	<30	> 3jam	0.2
43	CKP	PR	1	<30	> 3jam	0.3
44	DAS	PR	1	>30	< 3jam	0.3
45	DN	PR	2	<30	> 3jam	0.2
46	DR	LK	1	>30	< 3jam	0.6
47	FAF	LK	1	>30	< 3jam	0.5
48	FH	PR	1	>30	> 3jam	0.2
49	GDZ	LK	2	>30	< 3jam	0.5
50	HKS	PR	1	<30	> 3jam	0.3
51	IKN	PR	1	<30	< 3jam	0.6
52	MRA	LK	1	>30	< 3jam	0.6
53	MP	PR	2	<30	> 3jam	0.3
54	MAAH	LK	1	>30	< 3jam	0.6
55	NA	LK	1	>30	< 3jam	0.6
56	NP	PR	2	>30	< 3jam	0.6
57	NAN	PR	1	>30	< 3jam	0.6
58	NS	LK	1	<30	> 3jam	0.2
59	NSP	LK	1	<30	> 3jam	0.2
60	NFN	LK	1	>30	< 3jam	0.5
61	NAA	LK	1	>30	< 3jam	0.6

62	RF	PR	1	<30	> 3jam	0.2
63	RA	PR	1	<30	> 3jam	0.3
64	RAA	PR	2	>30	> 3jam	0.5
65	RZAA	PR	1	<30	> 3jam	0.6
66	RBA	LK	1	>30	< 3jam	0.6
67	SA	PR	1	<30	> 3jam	0.3
68	SR	LK	1	>30	> 3jam	0.6
69	SNT	PR	1	>30	> 3jam	0.3
70	SNZ	PR	2	<30	< 3jam	0.2
71	VNG	PR	1	<30	< 3jam	0.2
72	ARA	PR	1	>30	< 3jam	0.2
73	ANS	LK	1	>30	> 3jam	0.1
74	AAM	LK	2	<30	> 3jam	0.6
75	AK	PR	2	<30	< 3jam	0.2
76	ADK	LK	2	<30	< 3jam	0.6
77	CP	LK	1	<30	< 3jam	0.2
78	DF	LK	1	<30	< 3jam	0.5
79	DPBPA	PR	1	>30	< 3jam	0.2
80	DA	LK	1	>30	< 3jam	0.2
81	DP	PR	1	>30	> 3jam	0.5
82	DAFS	LK	2	<30	< 3jam	0.3
83	EPS	PR	1	>30	> 3jam	0.3
84	FM	LK	1	<30	> 3jam	0.3
85	GS	PR	1	<30	< 3jam	0.3
86	HA	PR	2	<30	< 3jam	0.6
87	IOS	LK	1	>30	< 3jam	0.2
88	KMZM	PR	1	<30	< 3jam	0.2
89	MA	LK	2	>30	< 3jam	0.2
90	NAN	PR	2	<30	> 3jam	0.6
91	NSU	PR	1	<30	> 3jam	0.3
92	NSA	PR	1	<30	> 3jam	0.3
93	NFY	LK	1	<30	> 3jam	0.6
94	NR	LK	1	>30	< 3jam	0.6

95	NS	PR	2	>30	< 3jam	0.5
96	PFS	PR	1	>30	< 3jam	0.6
97	PB	PR	1	>30	< 3jam	0.6
98	RA	LK	2	>30	< 3jam	0.2
99	RAR	PR	1	>30	< 3jam	0.5
100	RUS	PR	2	<30	< 3jam	0.5
101	RAYL	PR	1	<30	< 3jam	0.6
102	SA	PR	1	>30	> 3jam	0.7
103	SM	PR	2	>30	< 3jam	0.2
104	SAR	LK	1	>30	< 3jam	0.2
105	VI	PR	2	>30	< 3jam	0.6
106	YS	LK	2	>30	> 3jam	0.6
107	AZAH	PR	2	>30	> 3jam	0.5
108	AS	PR	1	<30	< 3jam	0.5
109	AW	LK	1	<30	< 3jam	0.6
110	AIA	PR	2	>30	> 3jam	0.2
111	AT	LK	1	>30	> 3jam	0.6
112	ASA	PR	1	<30	> 3jam	0.6
113	BRR	PR	1	>30	> 3jam	0.6
114	DAP	PR	1	>30	< 3jam	0.5
115	DH	PR	1	>30	< 3jam	0.2
116	DTNS	PR	1	>30	> 3jam	0.5
117	ES	LK	2	>30	> 3jam	0.5
118	EDS	PR	1	>30	< 3jam	0.6
119	FAS	LK	1	>30	< 3jam	0.6
120	FIS	PR	1	>30	< 3jam	0.6
121	KN	LK	2	>30	< 3jam	0.7
122	LAC	LK	1	>30	> 3jam	0.5
123	MRN	PR	1	>30	> 3jam	0.5
124	MG	LK	1	>30	> 3jam	0.5
125	MRHL	PR	1	>30	< 3jam	0.5
126	NA	LK	1	>30	< 3jam	0.6
127	NAP	PR	2	>30	< 3jam	0.5

128	NADR	LK	1	>30	< 3jam	0.6
129	RSSA	LK	1	>30	< 3jam	0.6
130	RRB	PR	2	>30	> 3jam	0.6
131	SM	PR	1	>30	< 3jam	0.6
132	SF	PR	1	>30	< 3jam	0.6
133	SAH	PR	1	>30	< 3jam	0.6
134	SCBS	LK	2	>30	< 3jam	0.6
135	SNA	LK	1	>30	< 3jam	0.2
136	SABRPA	LK	1	>30	> 3jam	0.1
137	SSP	PR	1	>30	< 3jam	0.3
138	WR	PR	1	>30	> 3jam	0.5
139	YM	LK	1	>30	< 3jam	0.5
140	ADR	LK	1	>30	< 3jam	0.2
141	APR	LK	1	>30	> 3jam	0.1
142	AF	PR	2	>30	> 3jam	0.1
143	AAR	LK	1	<30	> 3jam	0.5
144	AS	PR	2	>30	< 3jam	0.2
145	AFL	LK	2	>30	< 3jam	0.5
146	AAN	PR	1	<30	< 3jam	0.2
147	BDST	LK	2	>30	> 3jam	0.6
148	BNP	PR	1	>30	< 3jam	0.2
149	DN	LK	1	>30	< 3jam	0.2
150	D	LK	1	<30	> 3jam	0.6
151	DSF	PR	1	<30	> 3jam	0.6
152	EM	PR	2	>30	< 3jam	0.6
153	FAD	LK	1	<30	< 3jam	0.2
154	GHU	LK	1	>30	< 3jam	0.6
155	HNS	PR	2	>30	> 3jam	0.2
156	KN	PR	1	<30	> 3jam	0.2
157	MREH	LK	2	>30	< 3jam	0.1
158	MAD	PR	1	>30	< 3jam	0.1
159	MAA	LK	2	<30	< 3jam	0.5
160	MI	PR	1	>30	< 3jam	0.1

161	MYAP	LK	1	<30	< 3jam	0.1
162	NS	LK	1	>30	< 3jam	0.3
163	NFJ	PR	2	>30	> 3jam	0.6
164	NBG	LK	1	>30	< 3jam	0.5
165	N	PR	2	>30	> 3jam	0.5
166	RSBPT	LK	2	>30	> 3jam	0.2
167	RR	PR	2	<30	< 3jam	0.6
168	RMS	LK	2	>30	> 3jam	0.1
169	SW	PR	2	<30	> 3jam	0.7
170	S	LK	2	>30	< 3jam	0.1
171	SR	LK	2	<30	< 3jam	0.5
172	SYAP	LK	1	>30	< 3jam	0.2
173	WS	PR	1	>30	< 3jam	0.1
174	AAW	PR	1	<30	< 3jam	0.5
175	AH	PR	2	>30	< 3jam	0.1
176	ARE	PR	2	<30	> 3jam	0.6
177	AY	PR	2	>30	< 3jam	0.2
178	APS	LK	2	<30	< 3jam	0.1
179	DP	PR	1	>30	> 3jam	0.1
180	DPS	LK	2	>30	> 3jam	0.5
181	DFBT	PR	2	>30	< 3jam	0.2
182	DRF	LK	2	<30	< 3jam	0.3
183	EP	PR	1	>30	< 3jam	0.3
184	GAFL	PR	1	>30	> 3jam	0.2
185	GK	PR	2	>30	< 3jam	0.5
186	IL	LK	2	>30	> 3jam	0.5
187	LN	PR	2	>30	< 3jam	0.6
188	MS	LK	2	>30	< 3jam	0.2
189	MI	LK	2	>30	< 3jam	0.6
190	MA	LK	2	>30	> 3jam	0.5
191	BAP	PR	2	<30	> 3jam	0.6
192	RTP	PR	1	>30	< 3jam	0.7
193	RM	LK	2	<30	< 3jam	0.2

194	RZ	PR	2	>30	> 3jam	0.3
195	RKH	PR	1	<30	> 3jam	0.6
196	RR	PR	1	>30	< 3jam	0.6
197	SS	LK	2	>30	> 3jam	0.6
198	SRP	PR	2	>30	< 3jam	0.6
199	SES	PR	2	<30	< 3jam	0.5
200	SAS	LK	1	>30	> 3jam	0.6
201	SRO	PR	1	<30	> 3jam	0.3
202	SAL	LK	1	>30	> 3jam	0.2
203	TAS	PR	2	>30	> 3jam	0.6
204	TRN	LK	2	<30	< 3jam	0.1
205	WPH	LK	2	<30	> 3jam	0.6
206	WAK	LK	2	>30	> 3jam	0.6
207	YABRS	PR	2	>30	> 3jam	0.2
208	ARD	PR	1	<30	< 3jam	0.3
209	AFE	PR	2	>30	< 3jam	0.5
210	AAP	PR	2	>30	< 3jam	0.2
211	AS	PR	1	>30	< 3jam	0.5
212	AFA	PR	2	<30	< 3jam	0.6
213	AR	PR	2	<30	> 3jam	0.2
214	BAP	PR	2	<30	> 3jam	0.5
215	BK	PR	2	<30	< 3jam	0.1
216	DPJ	PR	1	<30	< 3jam	0.6
217	DFA	PR	2	>30	< 3jam	0.7
218	DRS	LK	1	<30	> 3jam	0.5
219	DSR	PR	2	<30	> 3jam	0.6
220	DF	LK	1	<30	> 3jam	0.5

Lampiran XIV

OUTPUT SPSS DAN ANALISA DATA

Frequency Table

usia

		Frequency	Percent	Valid Percent	Cumulative Percent
Valid	1	129	58.6	58.6	58.6
	2	91	41.4	41.4	100.0
	Total	220	100.0	100.0	

jarak

		Frequency	Percent	Valid Percent	Cumulative Percent
Valid	<30	85	38.6	38.6	38.6
	>30	135	61.4	61.4	100.0
	Total	220	100.0	100.0	

durasi

		Frequency	Percent	Valid Percent	Cumulative Percent
Valid	> 3jam	92	41.8	41.8	41.8
	< 3jam	128	58.2	58.2	100.0
	Total	220	100.0	100.0	

kelelahan

		Frequency	Percent	Valid Percent	Cumulative Percent
Valid	ada kelelahan mata	101	45.9	45.9	45.9
	tidak ada kelelahan mata	119	54.1	54.1	100.0
	Total	220	100.0	100.0	

Nonparametric Correlations**Correlations**

			jarak	kelelahan
Spearman's rho	jarak	Correlation Coefficient	1.000	.206**
		Sig. (2-tailed)	.	.002
		N	220	220
	kelelahan	Correlation Coefficient	.206**	1.000
		Sig. (2-tailed)	.002	.
		N	220	220

** . Correlation is significant at the 0.01 level (2-tailed).

Nonparametric Correlations

Correlations

			kelelahan	durasi
Spearman's rho	kelelahan	Correlation Coefficient	1.000	.144*
		Sig. (2-tailed)	.	.033
		N	220	220
	durasi	Correlation Coefficient	.144*	1.000
		Sig. (2-tailed)	.033	.
		N	220	220

*. Correlation is significant at the 0.05 level (2-tailed).

Lampiran XV

DOKUMENTASI

